

Статья посвящается юбилею академика РАН Ирины Петровны Белецкой

КОНТРОЛИРУЕМАЯ РАДИКАЛЬНАЯ ПОЛИМЕРИЗАЦИЯ ЛАУРИЛМЕТАКРИЛАТА В БАЗОВОМ СИНТЕТИЧЕСКОМ ПОЛИАЛЬФАОЛЕФИНОВОМ МАСЛЕ

© 2023 г. Е. В. Черникова^{1,2,3,*}, М. С. Павлова², А. В. Плуталова¹,
Е. А. Литманович¹, член-корреспондент РАН А. Л. Максимов³

Поступило 18.12.2022 г.

После доработки 09.02.2023 г.

Принято к публикации 10.02.2023 г.

Впервые осуществлена контролируемая радикальная полимеризация лаурилметакрилата в растворе базового синтетического полиальфаолеинового масла в присутствии 2-циано-2-пропилдодецилтритиокарбоната. Показано, что полимеризация протекает до высоких конверсий мономера и приводит к образованию полимера с узким молекулярно-массовым распределением. При этом реакционные смеси по окончании полимеризации сохраняют свою прозрачность. Синтезированные полимеры обладают загущающей способностью, которая закономерно возрастает с ростом их среднечисловой молекулярной массы.

Ключевые слова: высшие алкилметакрилаты, полилаурилметакрилат, радикальная полимеризация с обратимой передачей цепи, кинетика полимеризации, загущающая присадка

DOI: 10.31857/S268695352260091X, **EDN:** QHDIYK

ВВЕДЕНИЕ

Одной из актуальных задач при разработке топлив и масел, отвечающих современным, в том числе и экологическим требованиям, является расширение линейки доступных функциональных присадок, обеспечивающих достижение необходимых эксплуатационных свойств конечных продуктов [1]. Особый интерес среди них представляют депрессорные присадки, понижающие температуры застывания и фильтруемости топлив и влияющие на процесс кристаллообразования парафинов, а также вязкостные присадки, обеспечивающие работу двигателей в широком диапазоне температур. Данными свойствами обладают присадки для масел на основе высших по-

лиалкилметакрилатов [2–4], что обусловливает их широкое применение в автомобильных моторных маслах, трансмиссионных маслах, в гидравлических жидкостях и индустриальных маслах.

Свойства полимеров, используемых в качестве подобных присадок, определяются их химическим составом и молекулярной массой (ММ) [5]. Однако неоднородность макромолекул по ММ и составу может маскировать или исказить характер влияния перечисленных параметров. В большинстве работ выбор (ко)полимера осуществляется исключительно эмпирическим путем, поскольку четкая корреляция между составом сopolимера, ММ и его депрессорными и загущающими свойствами в отношении топлив или масел определенного состава однозначно не установлена. Хотя известно, что увеличение длины алкильного заместителя в высших метакрилатах и их содержания в сополимерах, полученных из смесей высших алкилметакрилатов C₈–C₁₀ и C₁₂–C₁₆, повышают вязкостно-температурные свойства масел [6–9]. Исследование депрессорных и вязкостных свойств сополимеров алкилакрилатов и алкилакрилатов/метакрилатов, а также сополимеров децилакрилата или децилметакрилата с N-трет-нонилакриламидом неопределенного состава показало, что стойкость к механодеструк-

¹Московский государственный университет имени М. В. Ломоносова, химический факультет, 119991 Москва, Россия

²Российский химико-технологический университет имени Д. И. Менделеева, Высший химический колледж Российской академии наук, 125047 Москва, Россия

³Институт нефтехимического синтеза им. А. В. Топчиева Российской академии наук, 119991 Москва, Россия

*E-mail: chernikova_elena@mail.ru

ции у полиакрилатов и полиметакрилатов близкая, а добавка амидного сомономера улучшает депрессорные свойства сополимеров [5, 10, 11]. Сополимеры стеарилметакрилата с акрилонитрилом или винилацетатом с узким молекулярно-массовым распределением (ММР) проявляют слабые депрессорные свойства, которые практически не зависят от состава сополимера [12, 13].

Высшие полиалкилметакрилаты получают реакцией радикальной полимеризации в массе или растворе. Длина алкильного заместителя оказывает существенное влияние на кинетику процесса из-за роста вязкости реакционной среды и сложности образовывать флюктуационную сетку зацеплений с увеличением длины алкила в метакрилате [14–18]. С увеличением длины бокового заместителя константа скорости обрыва цепи падает, а константа скорости роста практически не изменяется, что приводит к росту начальной скорости полимеризации. При этом классическая радикальная полимеризация всех алкилакрилатов в массе сопровождается автоускорением, но с ростом длины алкильного заместителя гель-эффект наступает позже и интенсивность автоускорения падает. Причиной этого является формирование флюктуационной сетки зацеплений полимера в мономере, которая тем гуще и тем легче формируется, чем меньше объем алкильного заместителя в алкилметакрилате.

Как правило, сами присадки на основе полиалкилметакрилатов формируют с использованием уже готовых полимеров. В то же время недавно появились сообщения о синтезе сополимеров высших (C_{12} – C_{15}) и низших алкилметакрилатов (метил- и бутилметакрилат, до 25%) непосредственно в индустриальных маслах в присутствии лаурилмеркаптана, однако кинетические закономерности такой сополимеризации не известны [19–21]. Такой подход позволяет снизить расходы на формирование конечного товарного масла и выглядит привлекательным.

Устранить неоднородность по составу сополимера и его ММ и установить искомую корреляцию между молекулярными характеристиками сополимера и его вязкостными и депрессорными свойствами возможно с использованием радикальной полимеризации с обратимой деактивацией цепи [22–25]. Синтез гомополимера стеарилметакрилата и его сополимера с акрилонитрилом или винилацетатом с узким ММР и контролируемой ММ полимеризацией с переносом атома впервые описан в работах [12, 13]. Успешно осуществлена контролируемая радикальная полимеризация додецилметакрилата с обратимой передачей цепи (ОПЦ) в анизоле [26], лаурил- и стеарилметакрилата в толуоле [27, 28]. Полученные полимеры использовали для синтеза блок-сополимеров дисперсионной полимериза-

ции в минеральном масле [27, 29]. Однако систематические исследования как закономерностей радикальной полимеризации с обратимой деактивацией цепи высших алкилметакрилатов в разных средах, так и свойств образующихся полимеров, характеризующихся однородностью по составу и ММ, отсутствуют.

В данной работе впервые описан подход контролируемого синтеза полилаурилметакрилата в условиях радикальной ОПЦ-полимеризации в базовом синтетическом полиальфаолефиновом масле ПАОМ-4. Изучены кинетика полимеризации, возможность регулирования молекулярно-массовых характеристик полимера и загущающих свойства полимера. Отсутствие органических растворителей, стадий выделения и очистки полимеров делает этот подход экологичным и экономичным и позволяет получать набор готовых концентратов для создания мультикомпонентных присадок разной функциональности.

ЭКСПЕРИМЕНТАЛЬНАЯ ЧАСТЬ

Лаурилметакрилат (ЛМА) (96%; “Aldrich”), 2-циано-2-пропилдодецилтритиокарбонат (ЦТК) (“Aldrich”) и масло ПАОМ-4 (плотность 0.820 г см⁻³ при 20°C; “Татнефть-Нижнекамскнефтехим-Ойл”) очистке не подвергали. Радикальный инициатор динитрил-азо-бис-изомасляной кислоты (ДАК) очищали перекристаллизацией из этанола с последующей сушкой в вакууме до постоянного веса, хранили в холодильнике без доступа света. Растворители диметилформамид (ДМФА) (“Aldrich”), тетрагидрофуран (ТГФ) (“AppliChem Panreac”), изопропанол (“Acros Organics”), толуол и бензол (“Химмед”) очищали по стандартным методикам.

Для проведения полимеризации готовили реакционные смеси, содержащие ЛМА и ПАОМ-4 в объемном отношении 1 : 1, заданное количество ДАК и, при необходимости, ЦТК. Смеси заливали в ампулы, дегазировали трехкратным повторением циклов заморозки-разморозки и ампулы запаивали. Полимеризацию проводили при 60 или 80°C. По окончании полимеризации ампулы вскрывали, образцы растворяли в бензole, полимер выделяли осаждением в изопропанол, осадок отфильтровывали, повторно растворяли в бензole и лиофильно высушивали.

Исследование кинетики радикальной полимеризации ЛМА проводили калориметрическим методом на дифференциальном автоматическом микрокалориметре ДАК-1-1а в режиме прямой регистрации скорости тепловыделения (dQ/dt) в изотермических условиях при 60 или 80°C. В рабочую ячейку помещали ампулу с исследуемой смесью с известной массой образца, в компенсационную ячейку сравнения — ампулу с приблизи-

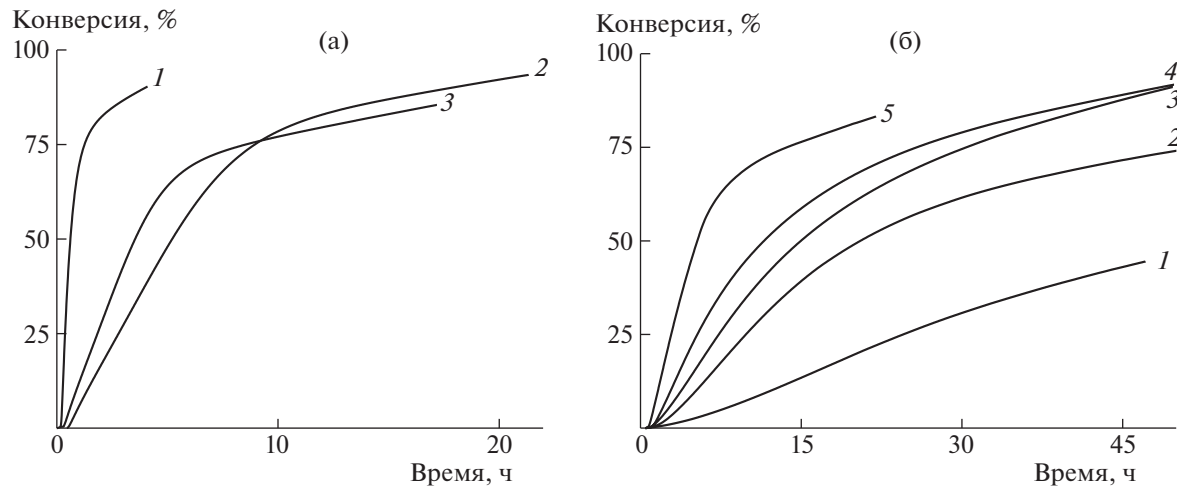


Рис. 1. Зависимости конверсии от времени при полимеризации ЛМА в 50%-м растворе ПАОМ-4, инициированной ДАК: (а) $T = 60^\circ\text{C}$ (2, 3) и 80°C (1), $[\text{ДАК}]_0 = 1 \times 10^{-2}$ моль л⁻¹ (1), 3×10^{-3} моль л⁻¹ (2) и 1×10^{-3} моль л⁻¹ (3); (б) $T = 60^\circ\text{C}$, $[\text{ДАК}]_0 = 1 \times 10^{-3}$ моль л⁻¹, $[\text{ТТК}]_0 = 1 \times 10^{-1}$ моль л⁻¹ (1), 3×10^{-2} моль л⁻¹ (2), 1×10^{-2} моль л⁻¹ (3), 3×10^{-3} (4) и 1×10^{-1} моль л⁻¹ (5).

тельно равным количеством полилаурилметакрилата. Для расчетов использовали значение энталпии полимеризации ЛМА, равное $-(55.2 \pm 0.8)$ кДж моль⁻¹ [18].

Молекулярно-массовые характеристики полимеров определяли методом гель-проникающей хроматографии (ГПХ) на хроматографе 1260 Infinity II GPC/SEC Multidetector System (фирма "Agilent"), оснащенном двумя колонками PLgel 5 μm MIXED B ($M = 5 \times 10^2 - 1 \times 10^7$), при 40°C в ТГФ при скорости потока 1 мл мин⁻¹. Средние молекулярные массы рассчитывали по узкодисперсным стандартам полиметилметакрилата (ПММА).

Для измерения динамической вязкости растворов η использовали капиллярный вискозиметр Уббелоде с подвешенным мениском (время истечения масла ПАОМ-4 324 с). Все измерения проводили при температуре 40°C . Для получения концентрационных зависимостей вязкости исходный раствор последовательно разбавляли порциями растворителя непосредственно в резервуаре вискозиметра. Перед измерением образцы термостатировали в течение 5 мин, температуру в ячейке поддерживали с точностью $\pm 0.2^\circ\text{C}$. Постоянную вискозиметра $K = \frac{\eta_0}{\rho_0 t_0} = 4.27 \times 10^{-4}$ см² с⁻² определяли по времени истечения жидкости с известной вязкостью – воды ($\eta_0 = 6.53 \times 10^{-3}$ г см⁻¹ с⁻¹ – динамическая вязкость воды при 40°C ; $\rho_0 = 0.992$ г см⁻³ – плотность воды при 40°C ; $t_0 = 15.4$ с – время истечения воды при 40°C). Расчет динамической вязкости (в сантипузах) растворов полимеров в масле проводили по формуле: $\eta = 100 K \rho_1 t_1$ ($\rho_1 = 0.814$ г см⁻³ –

плотность масла при 40°C ; t_1 – время истечения раствора, с).

РЕЗУЛЬТАТЫ И ИХ ОБСУЖДЕНИЕ

Кинетические закономерности радикальной полимеризации высших и низших алкилметакрилатов существенно различаются [17, 18]. Основное различие заключается в том, что для первых гель-эффект при полимеризации в массе менее выражен, чем для вторых. Можно предполагать, что подобные закономерности сохраняются и при полимеризации высших алкилметакрилатов, например, ЛМА в вязких средах – в синтетическом полиальфаолеиновом масле. На рис. 1а приведены зависимости конверсии ЛМА от времени при полимеризации в 50%-м растворе ПАОМ-4, инициированной ДАК. Скорость полимеризации растет с повышением как температуры реакции, так и концентрации инициатора. Стоит отметить, что в широком интервале времен полимеризации полученные зависимости оказываются линейными, после чего происходит автоторможение реакции, что указывает на практическое отсутствие гель-эффекта. ПЛМА, образующийся уже на начальных конверсиях, характеризуется широким ММР (табл. 1). С ростом конверсии его ММР уширивается, а на глубоких конверсиях полимер теряет растворимость, по-видимому, из-за образования пространственной трехмерной сетки.

Образование щитого полимера для ЛМА малохарактерно. Возможной причиной его формирования может быть участие в полимеризации (реакции передачи цепи) компонентов масла, таких как олигомеры децена-1 [30]. Для подавления этого нежелательного процесса была использова-

Таблица 1. Молекулярно-массовые характеристики гомополимеров ЛМА, синтезированных при полимеризации в масле ПАОМ-4, инициированной 1×10^{-2} моль л⁻¹ ДАК при 80°C

Время, мин	Конверсия, %	$M_n \times 10^{-3}$	$D = M_w/M_n$
3	4	333.4	2.2
5	13	343.8	2.5
10	26	319.3	3.1
15	33	295.2	4.0

на ОПЦ-полимеризация, благодаря которой появляются новые стадии обратимой передачи цепи, конкурирующие с побочными реакциями и позволяющие контролировать молекулярные характеристики продукта полимеризации [23]. Как видно на рис. 1б, введение агента ОПЦ приводит к понижению общей скорости полимеризации, что является типичным для ОПЦ-процесса

[31]. Независимо от температуры синтеза полимеры, образующиеся на высоких конверсиях при $[ЦТК]_0/[ДАК]_0 > 10$, характеризуются узким ММР ($D < 1.5$). Для примера на рис. 2а приведены кривые ММР полимеров, выделенных на предельных конверсиях при ОПЦ-полимеризации ЛМА, а в табл. 2 даны их молекулярно-массовые характеристики. Видно, что понижение концентрации ОПЦ-агента приводит к росту ММ и уширению ММР, а при $[ЦТК]_0/[ДАК]_0 = 1$ наряду с растворимым полимером с $D > 2$ образуется сетчатый полимер.

Для доказательства ОПЦ-механизма было изучено конверсионное изменение молекулярно-массовых характеристик образующихся полимеров (рис. 2б,в). С ростом конверсии мономера кривые ММР полимеров сдвигаются в область высоких ММ. При этом M_n линейно растет при увеличении конверсии мономера, а дисперсность полимера остается низкой, хотя и повышается с ростом конверсии.

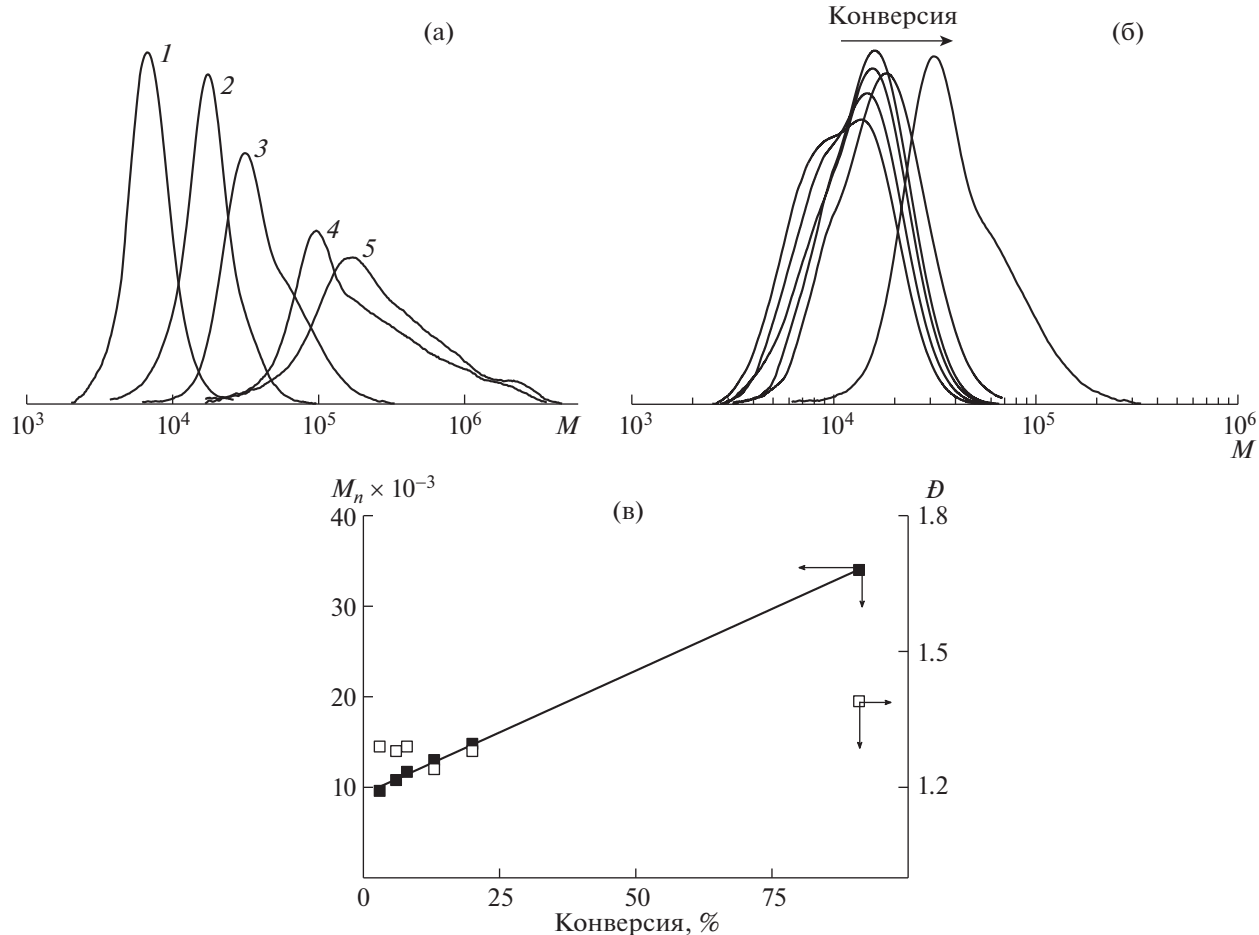


Рис. 2. Кривые ММР полимеров, образующихся при полимеризации ЛМА в 50% растворе ПАОМ-4 в присутствии 1×10^{-3} моль л⁻¹ ДАК и ЦТК при 60°C: (а) $[ЦТК]_0 = 1 \times 10^{-1}$ (1), 3×10^{-2} моль л⁻¹ (2), 1×10^{-2} моль л⁻¹ (3), 3×10^{-3} моль л⁻¹ (4) и 1×10^{-3} моль л⁻¹ (5); (б) $[ЦТК]_0 = 1 \times 10^{-2}$ моль л⁻¹. (в) Зависимость M_n и дисперсности D полимеров от конверсии: $[ДАК]_0 = 1 \times 10^{-3}$ моль л⁻¹ и $[ЦТК]_0 = 1 \times 10^{-2}$ моль л⁻¹, $T = 60^\circ\text{C}$.

Таким образом, как и ожидалось, введение агента ОПЦ позволяет получить ПЛМА с узким ММР и ММ, регулируемой конверсией мономера и концентрацией агента ОПЦ.

На основании полученных данных были синтезированы три образца ПЛМА разной ММ с узким ММР (ПЛМА1 с $M_n = 6100$ и $D = 1.14$, ПЛМА2 с $M_n = 13200$ и $D = 1.26$ и ПЛМА3 с $M_n = 36\,300$ и $D = 1.34$) и изучено их влияние на вязкость масла ПАОМ-4 (рис. 3).

Следует отметить, что реакционные смеси после полимеризации оставались прозрачными и их текучесть заметно падала. Зависимости динамической вязкости от концентрации полимера при 40°C линейны, и загущение масла тем сильнее, чем выше ММ полимера (рис. 3а). При постоянной концентрации полимера $C = 0.02$ г мл^{-1} кинематическая вязкость v ($v = \eta/\rho$) растет с увеличением M_n полимера (рис. 3б). В свою очередь концентрация полимера, требующаяся для достижения заданной величины загущения (кинематической вязкости $v = 15 \text{ мм}^2 \text{ с}^{-1}$), понижается с ростом M_n полимера. Сравнение полученных результатов с данными работ, в которых использованы базовая основа трансформаторного масла, низкозастывающая минеральная основа гидравлического масла и индустриальные масла [5, 10], позволяет сделать вывод о том, что наблюдаемое авторами двух- и трехкратное загущение масел при относительно низкой концентрации полимера 1–2 мас. % вызвано, по-видимому, присутствием в исследуемых полимерах высокомолекулярной фракции и их неоднородностью по составу.

Таблица 2. Молекулярно-массовые характеристики ПЛМА, синтезированного при полимеризации, инициированной 1×10^{-2} моль л^{-1} ДАК в присутствии ЦТК при 60°C в масле ПАОМ-4

[ЦТК], моль л^{-1}	Конверсия, %	$M_n \times 10^{-3}$	D
1×10^{-1}	42	6.4	1.16
3×10^{-2}	75	15.8	1.21
1×10^{-2}	91	34.0	1.39
3×10^{-3}	91	123.5	2.6
1×10^{-3}	24 (золь)	157.3	2.7

ЗАКЛЮЧЕНИЕ

В работе впервые описаны закономерности ОПЦ-полимеризации ЛМА в базовом масле ПАОМ-4. Независимо от механизма полимеризации гель-эффект в исследуемых системах практически не проявляется. Показано, что в отличие от классической радикальной полимеризации образование сшитого полимера не происходит при $[\text{ЦТК}]_0/[\text{ДАК}]_0 \geq 10$. Образующиеся полимеры характеризуются узким ММР, а их ММ контролируется концентрацией ОПЦ-агента и конверсией мономера. По окончании полимеризации реакционные смеси остаются прозрачными, а их текучесть зависит от ММ полимера. Загущающая способность ПЛМА проявляется сильнее с ростом его ММ. Таким образом, предлагаемый подход позволяет синтезировать полимеры на основе высших алкилметакрилатов с высоким выходом и с узким ММР. Это делает возможным создавать концентраты присадок для создания из них паке-

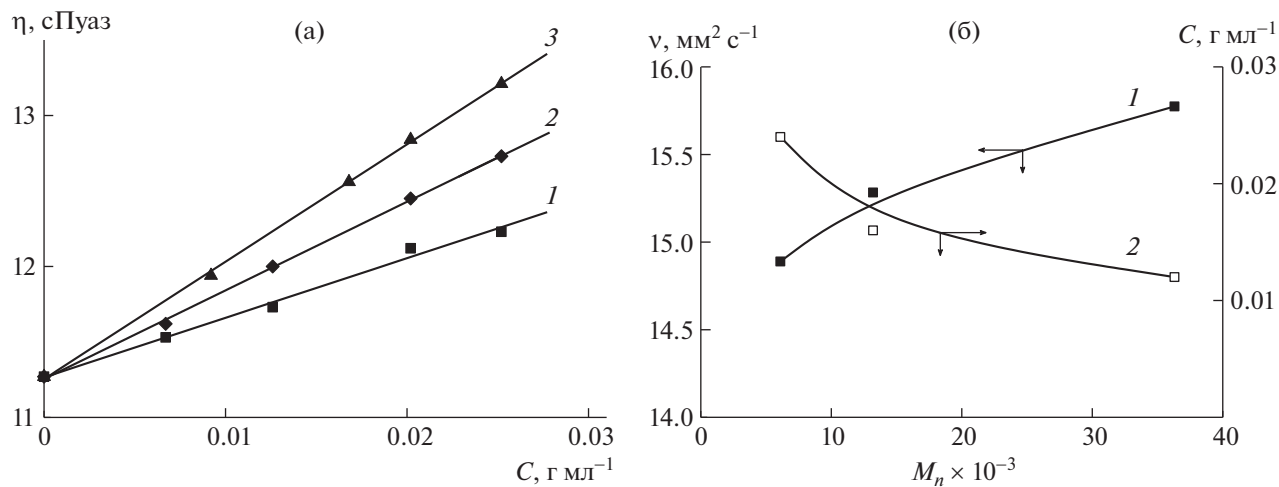


Рис. 3. (а) Зависимость динамической вязкости масла ПАОМ-4 от концентрации полимера при 40°C для ПЛМА1 (1), ПЛМА2 (2) и ПЛМА3 (3). (б) Зависимости кинематической вязкости при $C = 0.02$ г мл^{-1} (1) и концентрации ПЛМА, требуемой для достижения $v = 15 \text{ мм}^2 \text{ с}^{-1}$, (2) от M_n полимера.

тов мультикомпонентных присадок необходимой функциональности.

БЛАГОДАРНОСТИ

Работа выполнена с использованием оборудования, приобретенного за счет средств Программы развития Московского государственного университета.

СПИСОК ЛИТЕРАТУРЫ

1. Vinogradov A.A., Nifant'ev I.E., Vinogradov A.A., Borisov R.S., Ivchenko P.V. // Mendeleev Commun. 2021. V. 31. P. 709–711.
<https://doi.org/10.1016/j.mencom.2021.09.039>
2. Grishin D.F. // Pet. Chem. 2017. V. 57. № 10. P. 813–825.
<https://doi.org/10.1134/S0965544117100097>
3. Danilov A.M., Bartko R.V., Antonov S.A. // Pet. Chem. 2021. V. 61. № 1. P. 35–42.
<https://doi.org/10.1134/S0965544121010035>
4. Yang F., Zhao Y., Sjöblom J., Li C., Paso K.G. // J. Dispers. Sci. Technol. 2015. V. 36. № 2. P. 213–225.
<https://doi.org/10.1080/01932691.2014.901917>
5. Kazantsev O.A., Volkova G.I., Prozorova I.V., Litvinets I.V., Orekhov D.V., Samodurova S.I., Kamorin D.M., Moikin A.A., Medzhibovskii A.S. // Pet. Chem. 2016. V. 56. № 1. P. 68–72.
<https://doi.org/10.1134/S0965544115060079>
6. Akhmedov A.I., Ibragimova R.I. // Chem. Technol. Fuels Oils. 1991. V. 27. № 3. P. 160–162.
<https://doi.org/10.1007/BF00725366>
7. Akhmedov A.I., Levshina A.M. // Chem. Technol. Fuels Oils. 1986. V. 22. № 6. 300–301.
<https://doi.org/10.1007/BF00719560>
8. Akhmedov A.I., Buniyat-Zade I.A. // Chem. Technol. Fuels Oils. 1993. V. 29. № 4. P. 207–212.
<https://doi.org/10.1007/BF00727395>
9. Jukic A., Vidovic E., Janovic Z. // Chem. Technol. Fuels Oils. 2007. V. 43. № 5. P. 386–394.
<https://doi.org/10.1007/s10553-007-0068-9>
10. Kazantsev O.A., Samodurova S.I., Sivokhin A.P., Moikin A.A., Medzhibovskii A.S. // Pet. Chem. 2014. V. 54. № 1. P. 72–77.
<https://doi.org/10.1134/S0965544114010137>
11. Kazantsev O.A., Samodurova S.I., Kamorin D.M., Sivokhin A.P., Moikin A.A., Medzhibovskii A.S. // Pet. Chem. 2014. V. 54. № 6. P. 473–476.
<https://doi.org/10.1134/S0965544114060073>
12. Simanskaya K.Yu., Grishin I.D., Pavlovskaya M.V., Grishin D.F. // Polym. Sci., Ser. B. 2019. V. 61. № 2. P. 155–162.
<https://doi.org/10.1134/S1560090419020118>
13. Simanskaya K.Yu., Grishin I.D., Grishin D.F. // Russ. J. Appl. Chem. 2016. V. 89. № 7. P. 1119–1125.
<https://doi.org/10.1134/S1070427216070119>
14. Череп Е.И., Лачинов М.Б., Зубов В.П., Кабанов В.А. // Высокомолек. соед. Сер. Б. 1986. Т. 28. № 3. С. 165–169.
15. Королев Б.А., Лачинов М.Б., Древаль В.Е., Зубов В.П., Виноградов Г.В., Кабанов В.А. // Высокомолек. соед. Сер. А. 1983. Т. 25. № 11. С. 2430–2434.
16. Лачинов М.Б., Королев Б.А., Древаль В.Е., Череп Е.И., Зубов В.П., Виноградов Г.В., Кабанов В.А. // Высокомолек. соед. Сер. А. 1982. Т. 24. № 10. С. 2220–2226.
17. Траченко Д.В., Лачинов М.Б. // Высокомолек. соед. Сер. А. 1996. Т. 38. № 7. С. 1093–1098.
18. Траченко Д.В., Лачинов М.Б. // Высокомолек. соед. Сер. А. 1997. Т. 39. № 1. С. 109–115.
19. Большикова Е.А., Ширшин К.В., Мойкин А.А., Меджисбовский А.С., Ожогина О.Р., Шишулина А.В., Лазарева Л.Г. // Пластические массы. 2020. № 11–12. С. 45–47.
<https://doi.org/10.35164/0554-2901-2020-11-12-45-47>
20. Чугунов М.А., Рыбин А.Г., Меджисбовский А.С., Колокольников А.С., Дементьев А.В. Способ получения полиметакрилатной депрессорной присадки и депрессорная присадка, полученная этим способом. Патент РФ № 2402571. 2010.
21. Рамазанов К.Р. Способ получения полиалкилметакрилатных присадок и установка для его осуществления. Патент РФ № 2466146. 2011.
22. Controlled and living polymerizations. Müller A.H.E., Matyjaszewski K. (Eds.). Weinheim: Wiley-VCH, 2009. 612 p.
23. RAFT polymerization. Methods, synthesis and applications. Moad G., Rizzardo E. (Eds.). V. 1. Weinheim: Wiley-VCH, 2022. 1240 p.
24. Grishin D.F., Grishin I.D. // Russ. Chem. Rev. 2021. V. 90. № 2. P. 231–264.
<https://doi.org/10.1070/RCR4964>
25. Skvortsov I.Yu., Varfolomeeva L.A., Kuzin M.S., Vashchenko A.F., Chernikova E.V., Toms R.V., Kulichikhin V.G. // Mendeleev Commun. 2022. V. 32. P. 652–654.
<https://doi.org/10.1016/j.mencom.2022.09.028>
26. Brodu N., Talouba I., Lahoud I., Balland L., Mouhab N. // Chem. Pap. 2021. V. 75. № 4. P. 1607–1617.
<https://doi.org/10.1007/s11696-020-01412-x>
27. György C., Verity C., Neal T.J., Rymaruk M.J., Cornel E.J., Smith T., Grawney D.J., Armes S.P. // Macromolecules. 2021. V. 54. № 20. P. 9496–9509.
<https://doi.org/10.1021/acs.macromol.1c01528>
28. Derry M.J., Fielding L.A., Warren N.J., Mable C.J., Smith A.J., Mykhaylyk O.O., Armes S.P. // Chem. Sci. 2016. V. 7. № 8. P. 5078–5090.
<https://doi.org/10.1039/C6SC01243D>
29. Docherty P.J., Derry M.J., Armes S.P. // Polym. Chem. 2019. V. 10. № 5. P. 603–611.
<https://doi.org/10.1039/C8PY01584H>
30. Matkovskii P.E., Startseva G.P., Churkina V.Ya., Knerelman E.I., Davydova G.I., Vasil'eva L.P., Yarullin R.S. // Polym. Sci. Ser. A. 2008. V. 50. № 11. P. 1175–1186.
<https://doi.org/10.1134/S0965545X08110072>
31. Chernikova E.V., Sivtsov E.V. // Polym. Sci. Ser. B. 2017. V. 59. № 2. P. 117–146.
<https://doi.org/10.1134/S1560090417020038>

CONTROLLED RADICAL POLYMERIZATION OF LAURYL METHACRYLATE IN THE BASE SYNTHETIC POLYALPHAOLEFIN OIL

E. V. Chernikova^{a,b,c,#}, M. S. Pavlova^b, A. V. Platalova^a,
E. A. Litmanovich^a, and Corresponding Member of the RAS A. L. Maksimov^c

^a*M.V. Lomonosov Moscow State University, Faculty of Chemistry, 119991 Moscow, Russian Federation*

^b*Mendeleev University of Chemical Technology, Higher Chemical College of the Russian Academy of Sciences,
125047 Moscow, Russian Federation*

^c*Topchiev Institute of Petrochemical Synthesis, Russian Academy of Sciences, 119991 Moscow, Russian Federation*

#*E-mail: chernikova_elena@mail.ru*

Controlled radical polymerization of lauryl methacrylate in the base polyalphaolefin oil was performed first in the presence of 2-cyano-2-propyl dodecyl trithiocarbonate. It has been shown that polymerization proceeds to high monomer conversions and leads to the formation of a polymer with a narrow molecular weight distribution. At the same time, the reaction mixtures retain their transparency after polymerization is completed. The synthesized polymers have a thickening ability, which naturally increases with an increase in their number average molecular weight.

Keywords: higher alkyl methacrylates, poly(laurylmethacrylate), reversible addition–fragmentation chain transfer (RAFT) polymerization, polymerization kinetics, viscosity modifier